УДК 621.375.026

АНАЛИЗ РАБОТЫ УСИЛИТЕЛЬНОГО КАСКАДА С АВТОМАТИЧЕСКОЙ РЕГУЛИРОВКОЙ ПОТРЕБЛЯЕМОГО ТОКА

А.А. Титов

Томский государственный университет систем управления и радиоэлектроники E-mail: titov aa@rk.tusur.ru

Получены соотношения для расчета напряжения источника питания и области регулирования потребляемого тока сверхширокополосного усилительного каскада, в случае работы детектора системы регулирования в режиме выделения огибающей амплитудно-модулированного колебания и в режиме пикового детектирования. Приведены формулы для расчета максимально допустимого значения круговой частоты модуляции усиливаемого сигнала и постоянной времени нагрузки детектора, соответствующие заданным допустимым потерям выходной мощности, обусловленным непостоянством проводимости передачи системы
регулирования.

В [1, 2] показано, что усилительный каскад с автоматической регулировкой потребляемого тока (АРТ) позволяет получить в нагрузке практически вдвое большую мощность по сравнению с каскадом с фиксированной рабочей точкой (ФРТ), при одновременном увеличении среднего значения коэффициента полезного действия. Однако отсутствие методик расчета напряжения питания и области регулирования потребляемого тока каскада с АРТ в случае работы детектора системы регулирования в режиме выделения огибающей амплитудно-модулированного колебания и в режиме пикового детектирования затрудняет разработку каскадов с АРТ. Кроме того, остался не исследованным вопрос влияния зависимости коэффициента передачи детектора от частоты усиливаемого сигнала на характеристики каскада с АРТ.

Цель работы — вывод соотношений для расчета напряжения питания и области регулирования потребляемого тока каскада с APT в случае работы детектора системы регулирования в режиме выделения огибающей амплитудно-модулированного колебания и в режиме пикового детектирования, а также исследование влияния зависимости коэффициента передачи детектора от частоты усиливаемого сигнала на характеристики каскада с APT.

На рис. 1 приведена функциональная схема усилителя с APT, а на рис. 2 принципиальная схема одного из вариантов ее реализации.

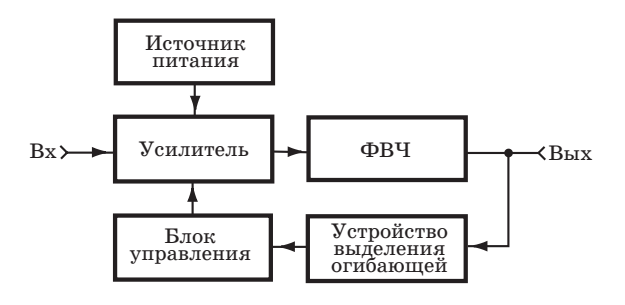


Рис. 1. Функциональная схема усилителя с APT

Усилитель имеет следующие линейные характеристики: коэффициент усиления 13,5 дБ; полоса

пропускания 1...600 МГц; неравномерность амплитудно-частотной характеристики $\pm 0,5$ дБ; уровень выходной мощности, соответствующий сжатию коэффициента усиления на 1 дБ, 3 Вт; потребляемый ток в режиме молчания 0,02 А; в режиме номинальной выходной мощности -0,32 А; сопротивление генератора и нагрузки 50 Ом.

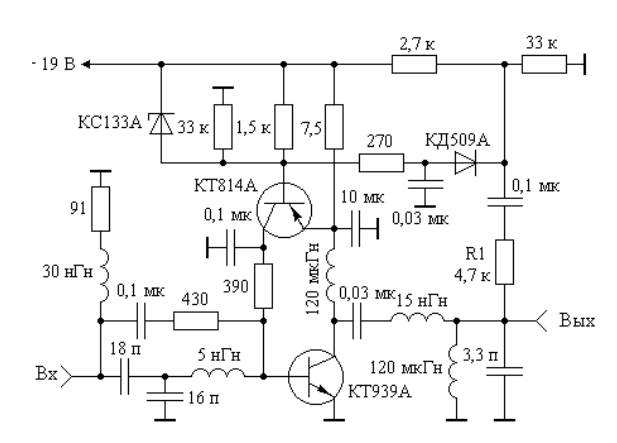


Рис. 2. Принципиальная схема усилительного каскада с АРТ

Будем полагать известными коэффициенты использования транзистора по току $\Psi = I_{mem}/I_{k0}$ и по напряжению $\xi = U_{mem}/U_{k30}$, где I_{mem} — максимальное значение амплитуды выходного тока, отдаваемого транзистором, I_{k0} — ток в рабочей точке транзистора, U_{mem} — максимальное значение амплитуды выходного напряжения, отдаваемого транзистором, U_{k30} — напряжение в рабочей точке транзистора [2]. Кроме того, будем считать, что анализируется работа дроссельного каскада, а сопротивление нагрузки R_n и максимальные значения напряжения питания E_{nm} и потребляемого тока I_{nm} выбраны из условия получения максимальной выходной мощности, то есть выполняется условие [2]:

$$R_{\scriptscriptstyle H} = \xi E_{\scriptscriptstyle nm}/\Psi I_{\scriptscriptstyle nm}$$

При линейном усилении AM сигналов мгновенные значения выходного напряжения $u_{\text{вых}}$ и выходного тока $i_{\text{вых}}$, усилительного каскада с APT, можно представить в виде [3]:

$$u_{_{GbLX}} = \xi E_{nm} (1 + m \cos \Omega t) \cos \omega t / (1 + m);$$

$$i_{_{GbLX}} = u_{_{GbLX}} / R_{_{H}},$$
(1)

где m — глубина модуляции; Ω — круговая частота модулирующего колебания; ω — круговая частота несущего колебания.

В соответствии с (1) средняя выходная мощность $\overline{P}_{\text{вых}}$ усилительного каскада с APT равна:

$$\overline{P}_{Gblx} = \frac{1}{4\pi^2} \int_0^{2\pi} \int_0^{2\pi} u_{Gblx} i_{Gblx} d\Omega t \cdot d\omega t =$$

$$= \xi^2 E_{nm}^2 (1 + m^2/2) / 2R_u (1 + m)^2. \quad (2)$$

В усилительном каскаде с APT напряжение питания постоянно $e_n = E_{nm}$, а мгновенное значение потребляемого тока изменяется по закону:

$$i_n = \xi E_{nm} (1 + m \cos \Omega t) / \Psi R_{\mu} (1 + m).$$

В этом случае мощность, потребляемая каскадом с APT P_{nT} , равна:

$$P_{nT} = \frac{1}{2\pi} \int_{0}^{2\pi} e_{n} i_{n} d\Omega t = \xi E_{nm}^{2} / \Psi R_{n} (1+m). \quad (3)$$

Из (2) и (3) следует, что КПД каскада с АРТ определяется соотношением:

$$\eta_T = \xi \Psi (1 + m^2/2)/2(1 + m).$$
(4)

Для сравнения найдем КПД усилительного каскада с ФРТ. Так как в каскаде в ФРТ выполняются условия:

$$e_n = E_{nm}; i_n = I_{nm},$$

то его потребляемая мощность $P_{n\phi}$ может быть рассчитана по формуле:

$$P_{n\Phi} = \xi E_{nm}^2 / \Psi R_{_{\!\!H}} ,$$

а КПД:

$$\eta_{\phi} = \overline{P}_{\text{\tiny GbLX}} / P_{n\phi} = \xi \Psi \left(1 + m^2 / 2 \right) / 2 \left(1 + m \right)^2.$$
(5)

Из (4) и (5) следует, что при усилении АМ колебаний КПД усилительного каскада с АРТ при большой глубине модуляции вдвое превышает КПД каскада с фиксированной рабочей точкой.

Для оценки потерь выходной мощности, обусловленных инерционностью системы регулирования по отношению к огибающей ВЧ сигнала, найдем соотношения для расчета E_{nm} и I_{nm} при работе каскада в режиме с ФРТ, а также для случаев работы детектора системы регулирования в режиме выделения огибающей амплитудно-модулированного колебания и в режиме пикового детектирования.

При работе усилительного каскада с ФРТ, ток и напряжение в точке покоя могут быть найдены из соотношений [2]:

$$E_{nm} = \sqrt{P_{\kappa,\partial on} \Psi R_{\mu} / \xi};$$

$$I_{nm} = \sqrt{P_{\kappa,\partial on} \xi / \Psi R_{\mu}};$$
(6)

где $P_{k,don}$ — максимально допустимая постоянная рассеиваемая мощность коллектора.

В усилительном каскаде с инерционной системой регулирования, в соответствии с (1), мгновенные значения напряжения питания и потребляемого тока равны:

$$e_n = E_{nm}; i_n = I_{nm},$$

а потребляемая им мощность определяется выражением (3). При этом, минимальное значение отдаваемой усилительным каскадом мощности, как следует из (2), составляет величину:

$$\overline{P}_{\text{BLX}} = 1.5\xi^2 E_{nm}^2 / 8R_{u}$$

Используя указанные выражения, найдем максимальные значения тока и напряжения в рабочей точке транзистора усилительного каскада с АРТ, при которых мощность, рассеиваемая на транзисторе P_{pac} , не превышает $P_{\kappa.\partial on}$:

$$E_{nm} = \sqrt{P_{\kappa,\partial on} R_{u} / \xi (1/\Psi - 1, 5 \xi/8)};$$

$$I_{nm} = \sqrt{P_{\kappa,\partial on} \xi / \Psi^{2} R_{u} (1/\Psi - 1, 5 \xi/8)}.$$
(7)

Минимальное значение потребляемого тока $I_{n \min}$, при известном значении коэффициента использования транзистора по току, определяется выражением:

$$I_{n \min} = (1 - \Psi)I_{nm}$$

В каскаде с безынерционной системой АРТ выполняется условие [2]:

$$E_{nm}I_{nm} = P_{\kappa \partial on}/(1-\xi \Psi/2)$$

и в случае $P_{pac} = P_{\kappa,\partial on}$ получим:

$$E_{nm} = \sqrt{P_{\kappa,\partial on} \Psi R_{\mu} / \xi (1 - \xi \Psi / 2)};$$

$$I_{nm} = \sqrt{P_{\kappa,\partial on} \xi / \Psi R_{\mu} (1 - \xi \Psi / 2)}.$$
(8)

Из (6–8) найдем, что максимальные значения выходной мощности каскада с ФРТ $P_{\text{вых.}\Phi}$, каскада с инерционной $P_{\text{вых.}H}$ и каскада с безынерционной $P_{\text{вых.}H}$ системами регулирования равны:

$$P_{\text{\tiny GLIX},\Phi} = \xi \Psi P_{\kappa,\partial on} / 2;$$

$$P_{\text{\tiny GLIX},H} = \xi \Psi P_{\kappa,\partial on} / 2 (1 - 1, 5 \xi \Psi / 8);$$

$$P_{\text{\tiny GLIX},E} = \xi \Psi P_{\kappa,\partial on} / (2 - \xi \Psi),$$
(9)

или, после нормирования относительно $\xi \Psi P_{\kappa,don}/2$:

$$\begin{split} P_{_{\text{GbIX}},\Phi} &= 1; \\ P_{_{\text{GbIX},H}} &= 1/(1-1,5\xi\Psi/8); \\ P_{_{\text{GbIX},E}} &= 2/(2-\xi\Psi). \end{split}$$
 (10)

Зависимости (10) представлены на рис. 3.

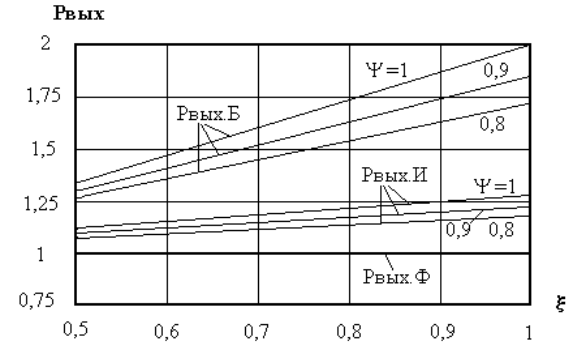


Рис. 3. Сравнительная оценка относительных уровней выходной мощности каскадов с инерционной и безинерционной системами регулирования

Рассмотрение этих зависимостей позволяет сделать следующие выводы. Максимальный выигрыш по уровню выходной мощности усилительного каскада с инерционной APT, по сравнению с усилительным каскадом с Φ PT, составляет 1,25 раза, а для безынерционной APT — 2 раза.

Особенностью работы детектора системы APT является требование обеспечения независимости его коэффициента передачи K_{θ} от частоты усиливаемого ВЧ колебания и отсутствие искажений закона изменения огибающей этого колебания на выходе детектора. Необходимость обеспечения указанных требований объясняется следующим.

Известно [2], что в усилителях класса А должно выполняться условие:

$$i_n \ge I_{\min} + I_{me}$$
,

где $I_{\scriptscriptstyle MB}$ — амплитуда выходного тока усилительного каскада; $I_{\scriptscriptstyle \min}=i_n(1-\Psi)$ — остаточный ток.

В усилителе с АРТ мгновенное значение потребляемого тока определяется выражением:

$$i_n = I_{\min} + U_{me} G_n,$$

где U_{ms} — амплитуда выходного напряжения усилительного каскада; G_n — проводимость передачи системы регулирования.

Поэтому при выполнении условия:

$$i_n = I_{\min} + I_{ms} = I_{\min} + U_{ms} G_{n \min},$$

где G_n min — минимально допустимое значение G_n , при котором усилитель с APT работает без отсечки коллекторного тока, в усилителе возможна реализация режима полного использования транзистора по мощности. В каскаде с безынерционной системой APT это соответствует выбору E_{nm} и I_{nm} по соотношениям (8). В случае если значение проводимости передачи системы регулирования окажется

больше $G_{n \min}$, при максимальном значении выходной мощности i_n окажется больше I_{nm} , и транзистор выйдет из строя. Оценим потери выходной мощности, обусловленные зависимостью проводимости передачи системы регулирования от частоты, что связано с частотной зависимостью коэффициента передачи детектора устройства выделения огибающей.

При $G_n = G_{n \min}$ максимальное значение выходной мощности усилительного каскада с АРТ определяется соотношением (9). В случае изменения G_n в пределах от G_{\min} до $G_{n \max}$ E_{nm} и I_{nm} могут быть найдены из системы уравнений:

$$\begin{split} \xi E_{nm} \Delta G_n / \Psi I_{nm} &= R_{\!\scriptscriptstyle H} \, ; \\ E_{nm} I_{nm} - \xi^2 E_{nm}^2 / 2 R_{\!\scriptscriptstyle H} &= P_{\!\scriptscriptstyle \kappa \, \partial on} \, , \end{split}$$

где $\Delta G_n = G_{\text{max}}/G_{\text{min}}$.

Откуда получим:

$$E_{nm} = \sqrt{P_{\kappa \partial on} R_{\mu} \Psi / \xi (\Delta G_n - \xi \Psi / 2)};$$

$$I_{nm} = \sqrt{P_{\kappa \partial on} \xi \Delta G_n^2 / R_{\mu} \Psi (\Delta G_n - \xi \Psi / 2)}.$$
(11)

Максимальная выходная мощность, в этом случае, равна:

$$P_{\text{Gas},2} = P_{\kappa \, \partial on} \, \xi \Psi / (2\Delta G_n - \xi \Psi),$$

и относительные потери выходной мощности, обусловленные непостоянством G_n , составляют:

$$\Delta P = (P_{\text{\tiny GbLX}B} - P_{\text{\tiny GbLX}B})/P_{\text{\tiny GbLX}B} =$$

$$= 1 - (2 - \xi \Psi)/(2\Delta G_n - \xi \Psi). \quad (12)$$

Так как реализация постоянного коэффициента передачи элементов системы APT за исключением детектора не вызывает трудностей, будем полагать, что неравномерность G_n полностью определяется неравномерностью коэффициента передачи детектора.

В диодном детекторе уменьшение его K_{θ} при изменении частоты несущего колебания возникает вследствие сопоставимости постоянной времени нагрузки детектора и периода времени ВЧ колебания $\tau_{B^{\mathcal{H}}}$ [4, 5]. Для нахождения зависимости K_{θ} от частоты ВЧ сигнала воспользуемся теорией идеального диодного детектора [4, 5]. В момент запирания диода детектора разряд конденсатора нагрузки происходит по закону:

$$U_{{\scriptscriptstyle H}\dot{\scriptscriptstyle \partial}}(t) = U_{{\scriptscriptstyle H}1} e^{-\frac{t-t_1}{C_{{\scriptscriptstyle H}\dot{\scriptscriptstyle \partial}}R_{{\scriptscriptstyle H}\dot{\scriptscriptstyle \partial}}}},$$

где U_{n1} — напряжение на сопротивлении нагрузки детектора в момент запирания диода; t_1 — время запирания диода; $C_{n\theta}$, $R_{n\theta}$ — емкость и сопротивление нагрузки детектора.

При детектировании сильных сигналов $R_{m\theta}$ выбирают из условия минимального угла отсечки: $SR_{m\theta} \ge 100$, где S – крутизна статической характеристики диода [5]. Поэтому можно принять: $t_1 = 0$, $U_{nl} = U_{m\theta}$. В этом случае среднее значение напряже-

ния $U_{n\partial}$ за период воздействия несущей равно:

$$U_{_{\mathit{HCP}}} = \frac{1}{2\pi} \int\limits_{0}^{2\pi} U_{_{\mathit{H}\grave{O}}}(t) d\omega t = \frac{\omega \tau_{_{\mathit{H}\grave{O}}} U_{_{\mathit{MS}}}}{2\pi} \left(1 - e^{-\frac{2\pi}{\omega \tau_{_{\mathit{M}\grave{O}}}}} \right),$$

где $\omega=2\pi/\tau_{B^q};\;\tau_{_{H^{\partial}}}=C_{_{H^{\partial}}}R_{_{H^{\partial}}}-$ постоянная времени нагрузки детектора.

После разложения $\exp(-2\pi/\omega\tau_{nd})$ в ряд Тейлора [6] имеем:

$$U_{ncp} = \frac{\omega \tau_{no} U_{ms}}{2\pi} \left[1 - \sum_{m=0}^{\infty} (-1)^n \left(\frac{2\pi}{\omega \tau_{no}} \right)^n \right].$$

Используя три первых члена ряда, с точностью не хуже $[(2\pi\tau_{B4}/\tau_{nd})^2/6]100\%$ получим [6]:

$$U_{\mu\nu\rho} = U_{me} (1 - \pi/\omega \tau_{\mu\partial}).$$

Откуда найдем:

$$\Delta G_n = 1/(1 - \pi/\omega \tau_{u\alpha}). \tag{13}$$

Подставляя (13) в (12) и, полагая известной нижнюю круговую частоту полосы пропускания усилителя ω_n , получим зависимость минимально допустимого значения постоянной времени детектора $\tau_{n\partial \min}$ от допустимой величины уменьшения максимального уровня выходной мощности усилителя:

$$\tau_{\text{H} \partial \min} = \frac{\pi}{\omega_{\text{n}} \left[1 - 1 / \left(\frac{1 - \xi \Psi / 2}{1 - \Delta P} + \frac{\xi \Psi}{2} \right) \right]}. \quad (14)$$

Требование отсутствия искажений закона изменения огибающей ВЧ сигнала в детекторе системы АРТ связано с увеличением потребляемой усилителем мощности при переходе детектора в режим пикового детектирования. Согласно работам [4, 5] при усилении ВЧ колебаний искажения закона изменения огибающей ВЧ сигнала будут отсутствовать в случае, если выполняется условие:

$$\tau_{n\alpha} \leq \sqrt{1-m^2}/m\Omega$$

Из совместного решения (13) и (14) получим:

$$\Omega \leq \frac{\sqrt{1-m^2}\omega_{_{\scriptscriptstyle H}}\left[1-1/\left(\frac{1-\xi\,\Psi/2}{1-\Delta P}+\frac{\xi\Psi}{2}\right)\right]}{m\pi} \tag{15}$$

Неравенство (15) позволяет рассчитать максимальное значение круговой частоты модулирующего колебания Ω_m , при котором система APT осуществляет изменение потребляемого тока по закону огибающей с учетом допустимых потерь выходной мощности, обусловленных зависимостью K_{θ} от частоты несущего колебания. При усилении сигналов с частотой модуляции менее Ω_m , E_{nm} и I_{nm} рассчиты-

ваются по (11). При необходимости усиления сигналов с $\Omega \geqslant \Omega_m$, расчет E_{nm} и I_{nm} следует производить по формулам, полученным из (7) с учетом ΔG_n :

$$E_{nm} = \sqrt{P_{\kappa,\partial on} R_{\mu} / \xi (\Delta G_n / \Psi - 1, 5 \xi / 8)};$$

$$I_{nm} = \sqrt{P_{\kappa,\partial on} \xi / \Psi^2 R_{\mu} (\Delta G_n / \Psi - 1, 5 \xi / 8)}.$$
(16)

Для примера осуществим расчет $E_{n.m}$, $I_{n.m}$, $C_{n\partial}$, $R_{n\partial}$, Ω_m , $P_{\text{вых.}\Phi}$, $P_{\text{вых.}\Phi}$, $P_{\text{вых.}\Phi}$, $P_{\text{вых.}\Phi}$ каскада, принципиальная схема которого приведена на рис. 2, при его работе в режиме с ФРТ и в режиме с использованием инерционной и безынерционной систем регулирования. При расчетах будем полагать, что максимальная глубина модуляции при высоких частотах модуляции равна 0,7 [5], коэффициенты Ψ и ξ транзистора КТ939A [7] равны 0,95 и 0,9 соответственно, $P_{\kappa.dom}=3$ Вт, допустимое значение $\Delta P=0,02$, $R_{u}=50$ Ом.

В случае работы каскада в режиме с ФРТ из (6) и (9) получим: $E_{nm}=12,6$ В; $I_{nm}=0,238$ А; $P_{\text{вых},\phi} = 1,28$ Вт. В соответствии с (12) значению $\Delta P = 0.02$ соответствует $\Delta G_n = 1.012$. Для каскада с инерционной системой регулирования из (16) определим: $E_{nm} = 15.2 \text{ B}$; $I_{nm} = 0.258 \text{ A}$. Максимальное значение выходной мощности каскада с инерционной системой регулирования согласно (9), с учетом ΔP , равно: $P_{\text{вых.} H}(1 - \Delta P) = 1,5$ Вт. Для каскада с безынерционной системой регулирования из (11) определим: $E_{nm} = 16,45 \text{ B}$; $I_{nm} = 0,316 \text{ A}$. Максимальное значение выходной мощности каскада с безынерционной системой регулирования согласно (9), с учетом ΔP , равно: $P_{\text{вых.}B}(1-\Delta P) = 2,2$ Вт. Нижняя граничная частота полосы пропускания каскада равна 1 МГц. С учетом этого, из (13) найдем: $\tau_{\rm H0\,min} = 43 \cdot 10^{-6} \, {\rm c.}$ Сопротивление нагрузки детектора системы регулирования, как следует из схемы приведенной на рис. 2, равно: $R_{\text{ид}} = 1500$ Ом. Теперь из равенства $au_{n\theta} = C_{n\theta}R_{n\theta}$ определим: $C_{n\theta} = au_{n\theta} \min/R_{n\theta} = au_{n\theta} \min/R_{n\theta}$ 28,7 нФ. И, наконец, используя (15) рассчитаем: $\Omega_m = 23,2$ кГц. Проводимость передачи системы регулирования устанавливается выбором номинала резистора R_1 . Стабилитрон КС133A, включенный в цепи базы транзистора КТ814А, необходим для ограничения сигнала управления значением, соответствующим заданной максимальной величине тока потребления.

Таким образом, приведенные соотношения позволяют осуществлять проектирование усилительных каскадов с АРТ, обеспечивающих получение максимальной выходной мощности в нагрузке при заданном значении максимально допустимой постоянной рассеиваемой мощности коллектора и в случае работы детектора системы регулирования в режиме выделения огибающей амплитудно-модулированного колебания и в режиме пикового детектирования.

СПИСОК ЛИТЕРАТУРЫ

- 1. Титов А.А. Нелинейные искажения в мощной широкополосной усилительной ступени с автоматической регулировкой потребляемого тока // Известия вузов. Сер. Радиоэлектроника. -2001. № 11. C. 71-77.
- 2. Широкополосные радиопередающие устройства / Под ред. О.В. Алексеева. М.: Связь, 1978. 304 с.
- 3. Гоноровский И.С. Радиотехнические цепи и сигналы. М.: Советское радио, 1963. 696 с.
- Радиоприемные устройства / Под общей ред. В.И. Сифорова. – М.: Советское радио, 1974. – 560 с.
- Чистяков Н.И., Сидоров М.В., Мельников В.С. Радиоприемные устройства / Под ред. Н.И. Чистякова. М.: Государственное изд-во литературы по вопросам связи и радио, 1959. 895
- Бронштейн И.Н., Семендяев Е.А. Справочник по математике / Пер. с нем.; Под ред. Г. Гроше и В. Циглера. — М.: Наука, 1980. — 976 с.
- Петухов В.М. Полевые и высокочастотные биполярные транзисторы средней и большой мощности и их зарубежные аналоги: Справочник. В 4-х томах. Т. 3. — М.: КУбК-а, 1997. — 672 с.

УДК 621.311.6

АНАЛИЗ ПАРАМЕТРИЧЕСКИХ СПОСОБОВ СТАБИЛИЗАЦИИ НАПРЯЖЕНИЯ ИМПУЛЬСНЫХ ПРЕОБРАЗОВАТЕЛЕЙ

Е.Ю. Буркин, В.Н. Макаревич, В.В. Свиридов

Томский политехнический университет E-mail: burkin@mail.ru

Рассмотрены базовые схемы понижающего, повышающего и инвертирующего преобразователей постоянного напряжения в постоянное с параметрической стабилизацией выходного напряжения. Проведен анализ трех способов управления силовыми ключами преобразователей при постоянной длительности периода, закрытого и открытого состояний ключа. Приведены структурные схемы систем управления, реализующих эти способы. Получены выражения и графики относительных величин ВЧ и НЧ пульсаций на нагрузке от входного напряжения. Показано, что наибольшую эффективность подавления входной НЧ пульсации, при прочих равных условиях, обеспечивает способ стабилизации при постоянной длительности паузы, а два других дают практически одинаковые результаты. Приведены результаты моделирования теоретических расчетов в пакете прикладных программ OrCAD 9.2.

Введение

Импульсные преобразователи (ИП) напряжения широко используют в современных источниках питания. Мощный толчок их развитию дала разработка высококачественных силовых ключей – MOS и IGBT транзисторов. Известны три базовых схемы силовой части ИП (рис. $1, a-\theta$). В первой из них выходное напряжение U_n ниже входного U_{ex} , поэтому его называют понижающим (ПН), во второй выходное напряжение выше входного (ПВ), а в третьей имеет обратную (инвертированную) полярность (ПИ). Каждая модификация занимает свою нишу в типоряде источников питания. ПН-преобразователи имеют чрезвычайно большой диапазон выходных мощностей – от долей ватта до тысяч киловатт, и используются, в основном, как регуляторы - стабилизаторы напряжения или тока в приборных источниках питания, электротехнологических установках и электроприводе. ПВ-преобразователи применяют в современных корректорах коэффициента мощности, позволяющих получить коэффициент мощности преобразователей переменного напряжения в постоянное близкий к единице. ПИ-преобразователи (их называют также обратноходовыми) с трансформаторным включением дросселя L_ϕ широко используют в источниках питания современных телевизоров и мониторов.

Регулировка и стабилизация выходных параметров ИП осуществляется путем изменения соотношения времени замкнутого (t_n) и разомкнутого (t_n) состояния ключа К в схемах рис. 1. Система управления (СУ) ключом ИП представляет собой широтно-импульсный модулятор (ШИМ), который за счет обратных связей отрабатывает различные возмущения, например изменения тока нагрузки или входного напряжения. Как и в любой замкнутой системе автоматического регулирования (САР) в СУ ИП должны быть решены проблемы устойчивости, качества переходных процессов и другие, заданные потребителем задачи. Решению этих проблем посвящены многие публикации [1–4, 8].

В большинстве случаев основным дестабилизирующим фактором в ИП является изменение входного напряжения. Вследствие дозированной передачи энергии источника $U_{\rm ex}$ в нагрузку имеется возможность такого управления регулирующим элементом — ключом K, при котором выходное напря-